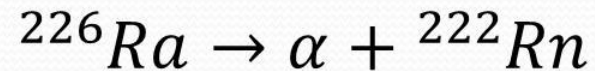
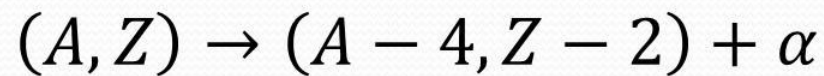


# $\alpha$ – распад

$\alpha \equiv {}^4He$



# Энергия $\alpha$ – распада

- При  $\alpha$ -распаде выделяется энергия

$$Q_\alpha = M(A, Z) - [M(A - 4, Z - 2) + m_\alpha]$$

Энергия через декременты масс

$$Q_\alpha = \delta_{(A,Z)} - \delta_{(A-4,Z-2)} - \delta_\alpha$$



$$Q_\alpha = T_\alpha + T_\text{я}$$

$T_\alpha, T_\text{я}$  - кинетические энергии

$$\vec{p}_A = \vec{p}_\alpha + \vec{p}_\text{я}$$

$$p_\alpha = p_\text{я}$$

•

$$T = \frac{p^2}{2M}$$

$$\frac{T_\alpha}{T_\text{Я}} = \frac{\text{M}_\text{Я}}{m_\alpha}$$

Энергия  $Q_\alpha$  делится между ядром отдачей и  $\alpha$ -частицей обратно пропорционально их массам.

$$T_\alpha = Q_\alpha \frac{M_{\text{я}}}{M_{\text{я}} + m_\alpha}$$

$$T_{\text{я}} = Q_\alpha \frac{m_\alpha}{M_{\text{я}} + m_\alpha}$$

# Условие устойчивости

Условие устойчивости ядра ( $A, Z$ ) по отношению к  $\alpha$ -распаду

$$Q_\alpha = M(A, Z) - [M(A - 4, Z - 2) + m_\alpha] < 0$$

Известно свыше 300  $\alpha$ -радиоактивных ядер.

1.  $Z > 82$
2. область редкоземельных элементов ( $A=140-160$ )

- 

$$T_\alpha = 2 \div 9 \text{ Мэв}$$

$$T_{1/2} \approx 10^{-8} \text{ с} \div 10^{20} \text{ лет}$$

Закон Гейгера-Неттола (1911 г.):

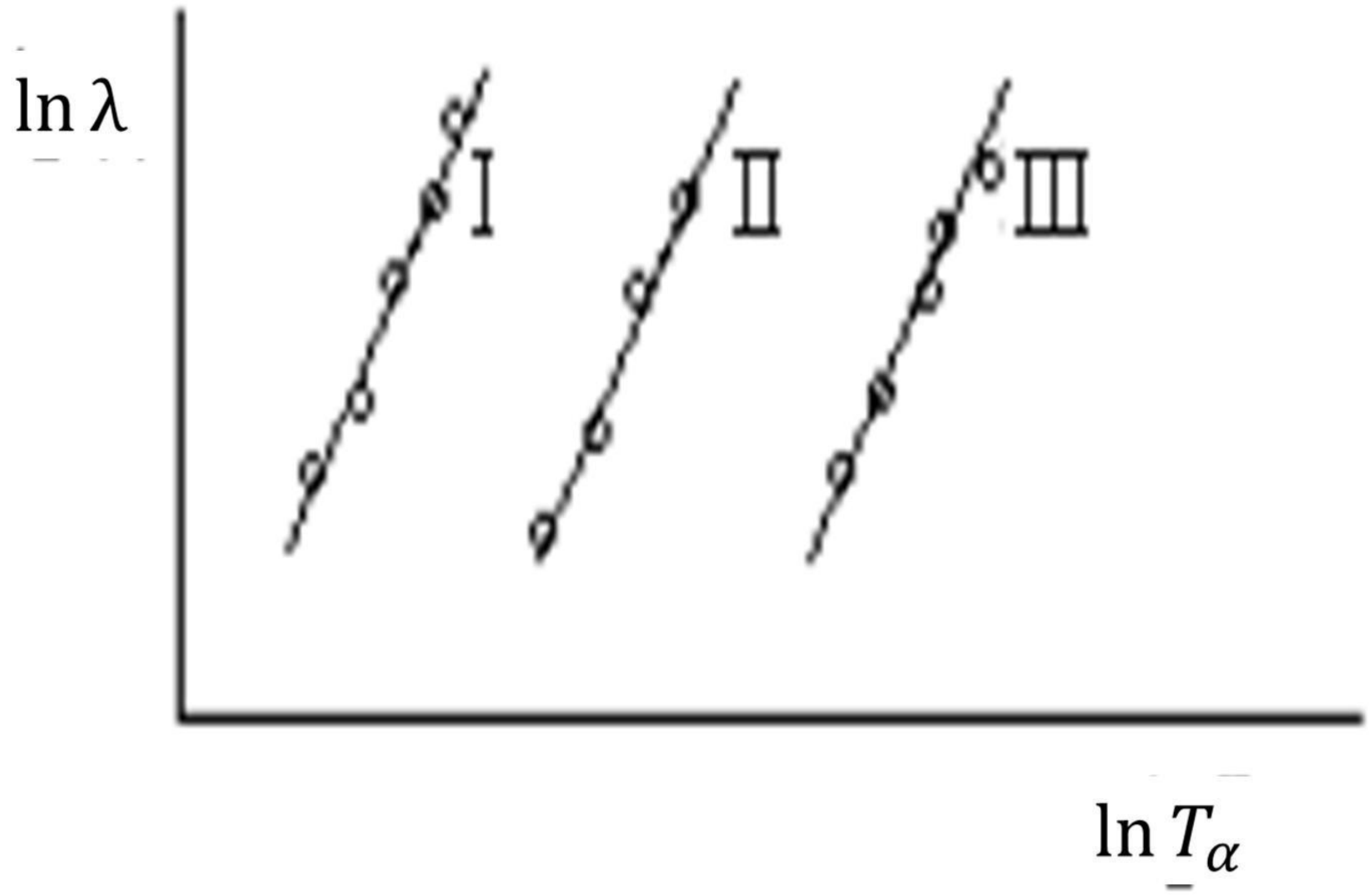
Большим энергиям частиц соответствуют меньшие периоды полураспада.

$$\ln \lambda = A \ln T_\alpha + B$$

А, В – константы

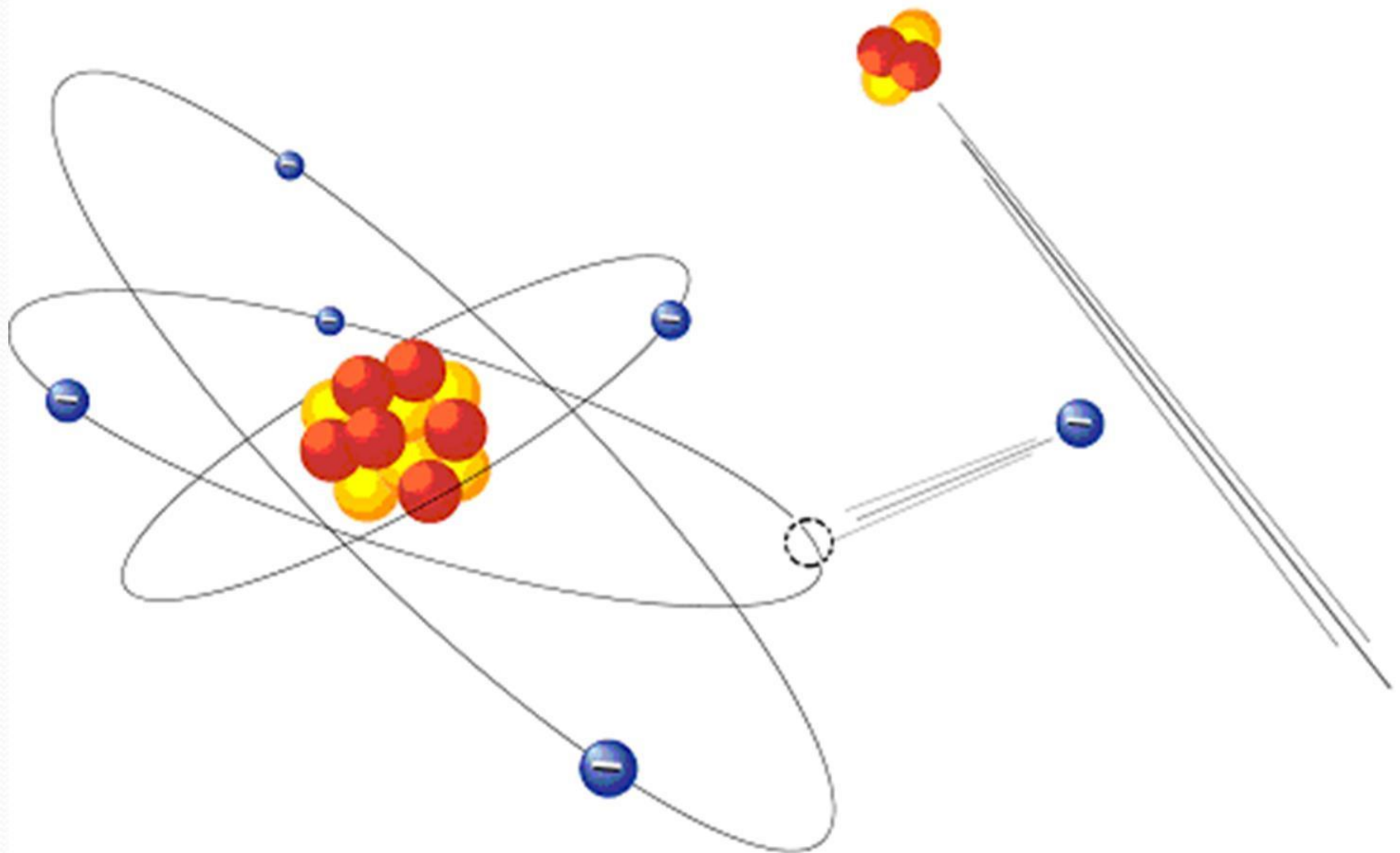
А – универсальна для всех  $\alpha$ -радиоактивных четно-четных ядер

В – у различных радиоактивных семейств различаются.



# Взаимодействие а-частиц с веществом

Ионизация или возбуждение атомов среды.





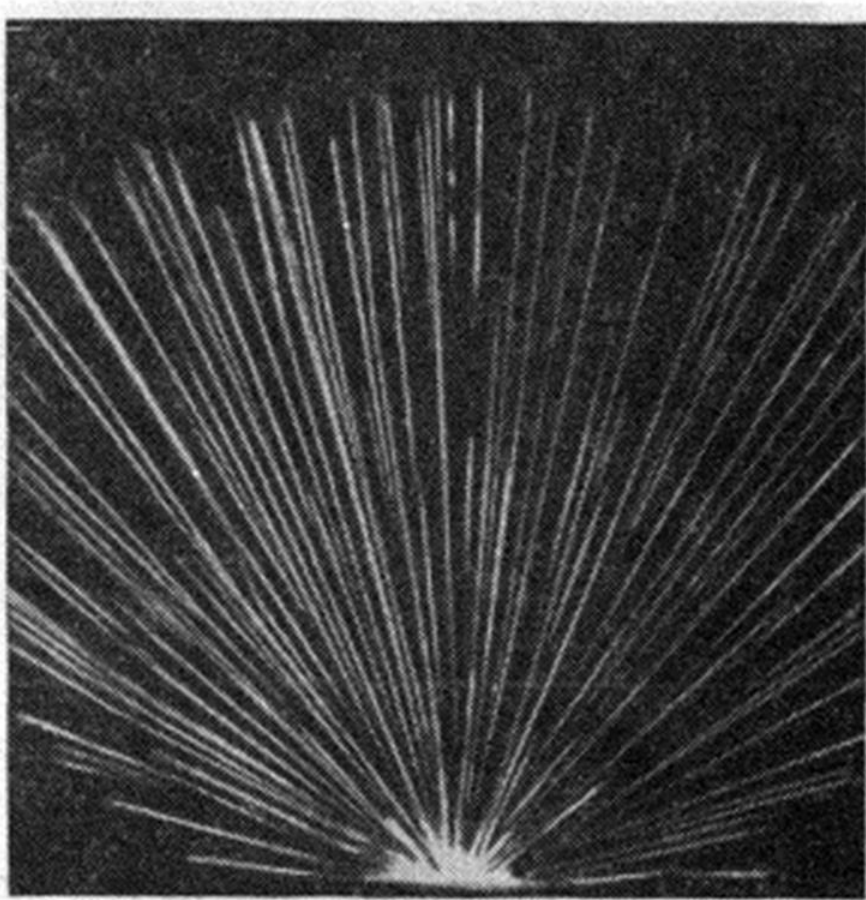
$$N = \frac{T_\alpha}{\omega}$$

**N** – среднее число пар ионов, создаваемых одной  $\alpha$ -частицей,

**$T_\alpha$**  - начальная кинетическая энергия  $\alpha$ -частицы,

**$\omega$**  – средняя энергия, затрачиваемая частицей на образование одной пары ионов

Для воздуха  $\omega = 34$  эВ

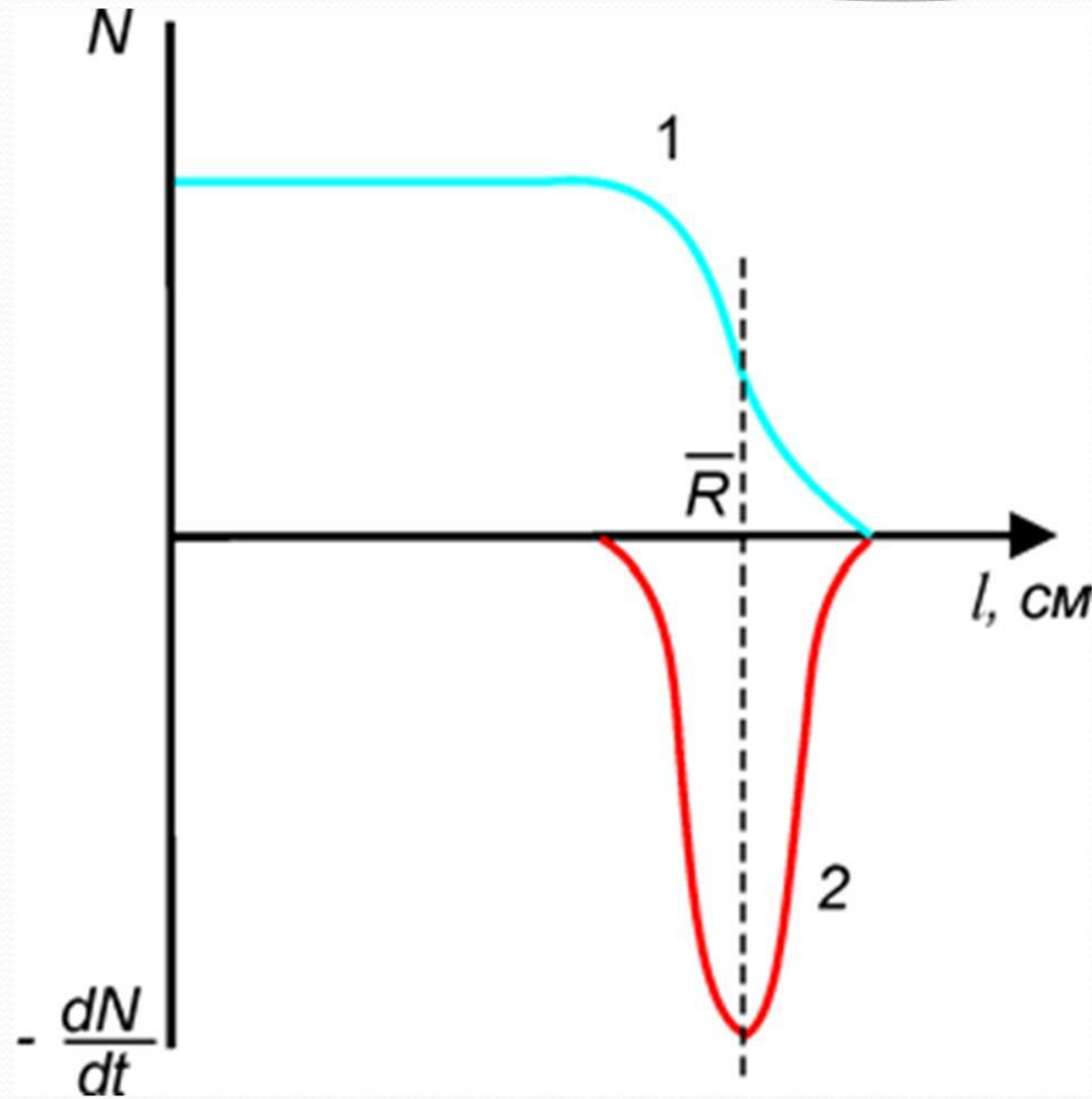


Длина пробега альфа-частиц в воздухе:

$$R = 0,31T_{\alpha}^{3/2}$$

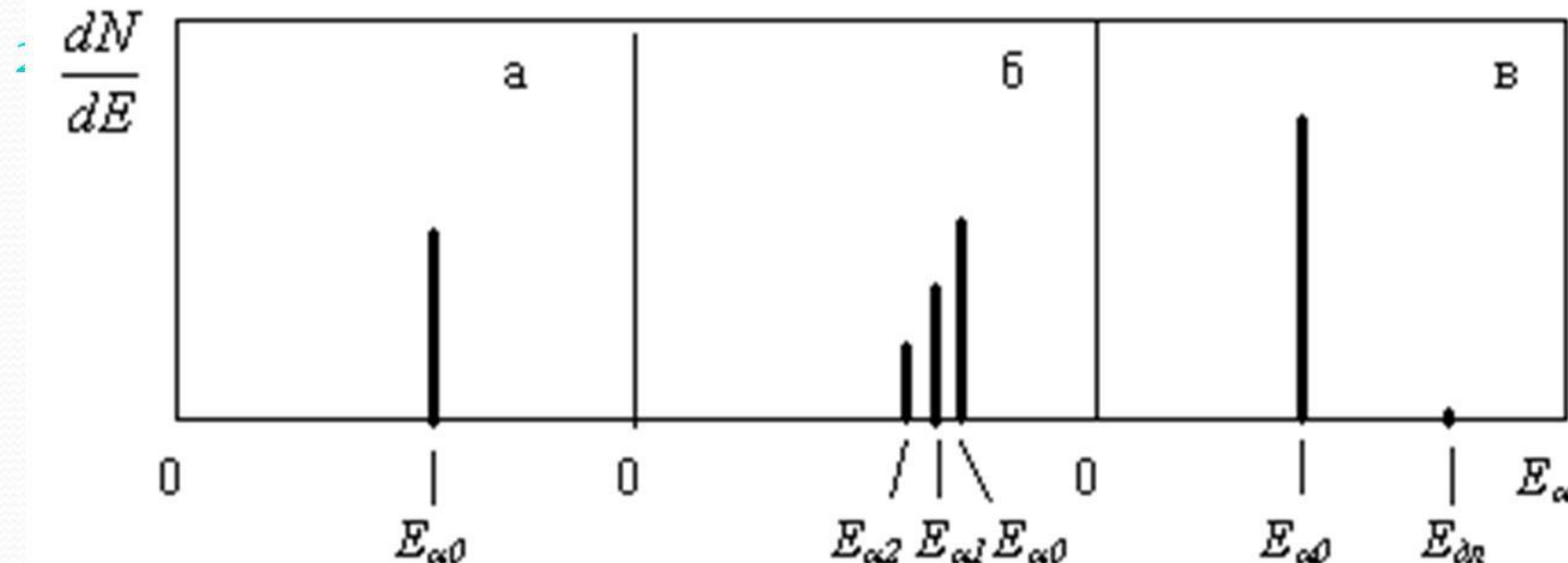
Длина пробега альфа-частицы в веществе:

$$R_A = 0,56A^{1/3}R$$

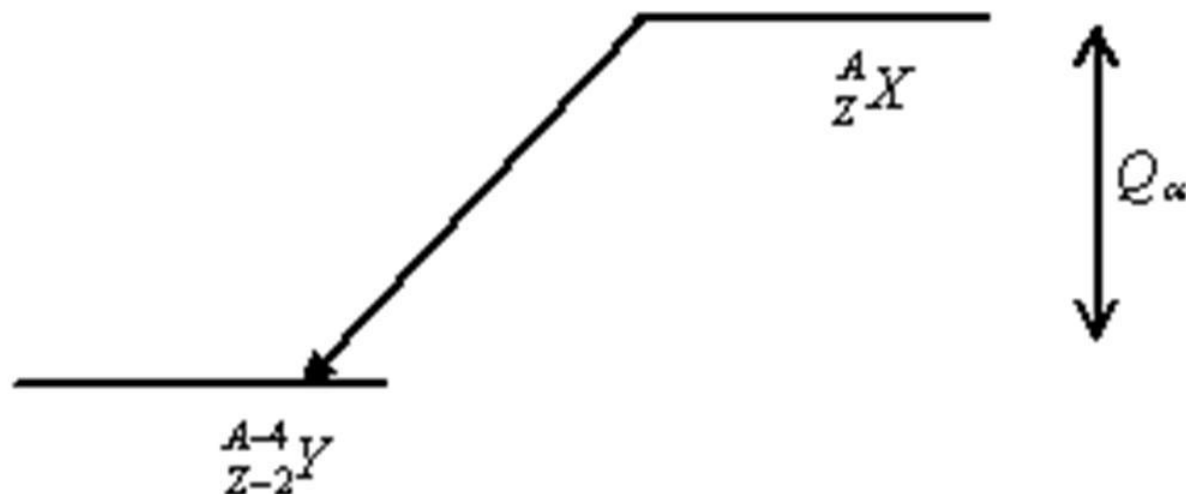


# Энергетические спектры альфа-частиц

- Простые спектры. При распаде некоторых ядер все альфа-частицы вылетают практически с одинаковыми энергиями. Спектр изображается одним узким пиком (а)

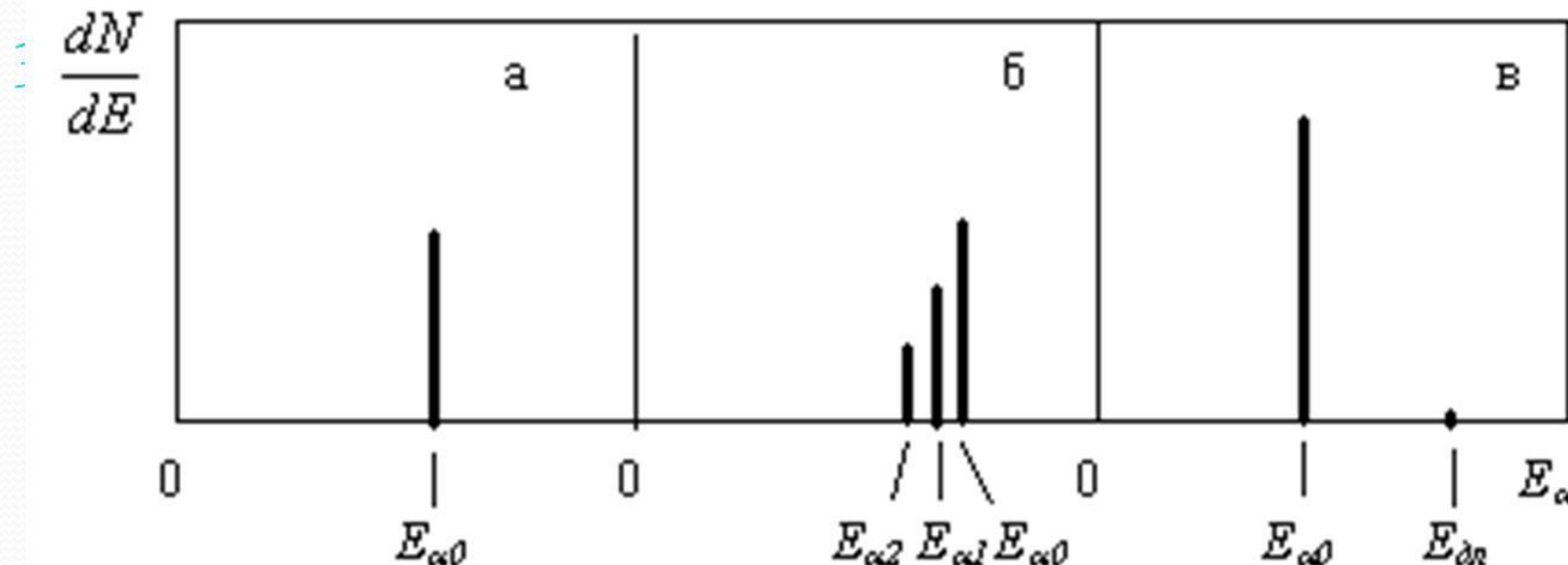


- Простой спектр  $\alpha$ -частиц получается в тех случаях, когда при  $\alpha$ -распаде оказывается возможным только прямой переход между основными состояниями материнского и дочернего ядер.

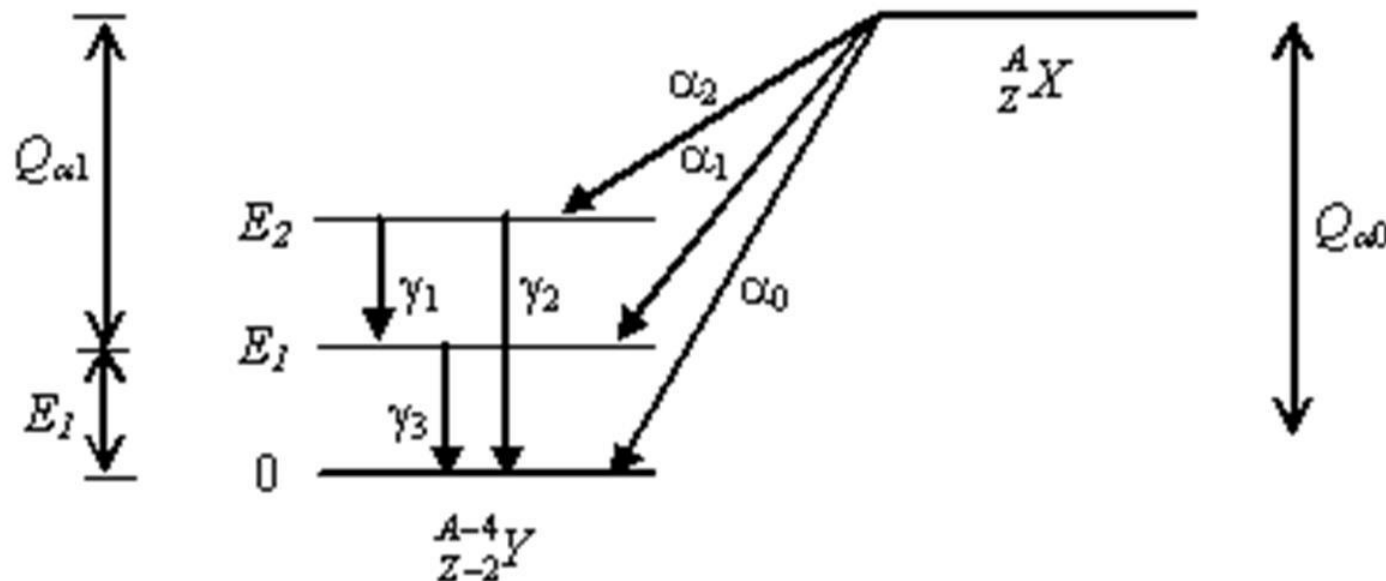


# Энергетические спектры альфа-частиц

2. Спектры с тонкой структурой. Спектр состоит из нескольких близко расположенных пиков (линий), которым соответствует несколько групп частиц с разными энергиями (б)

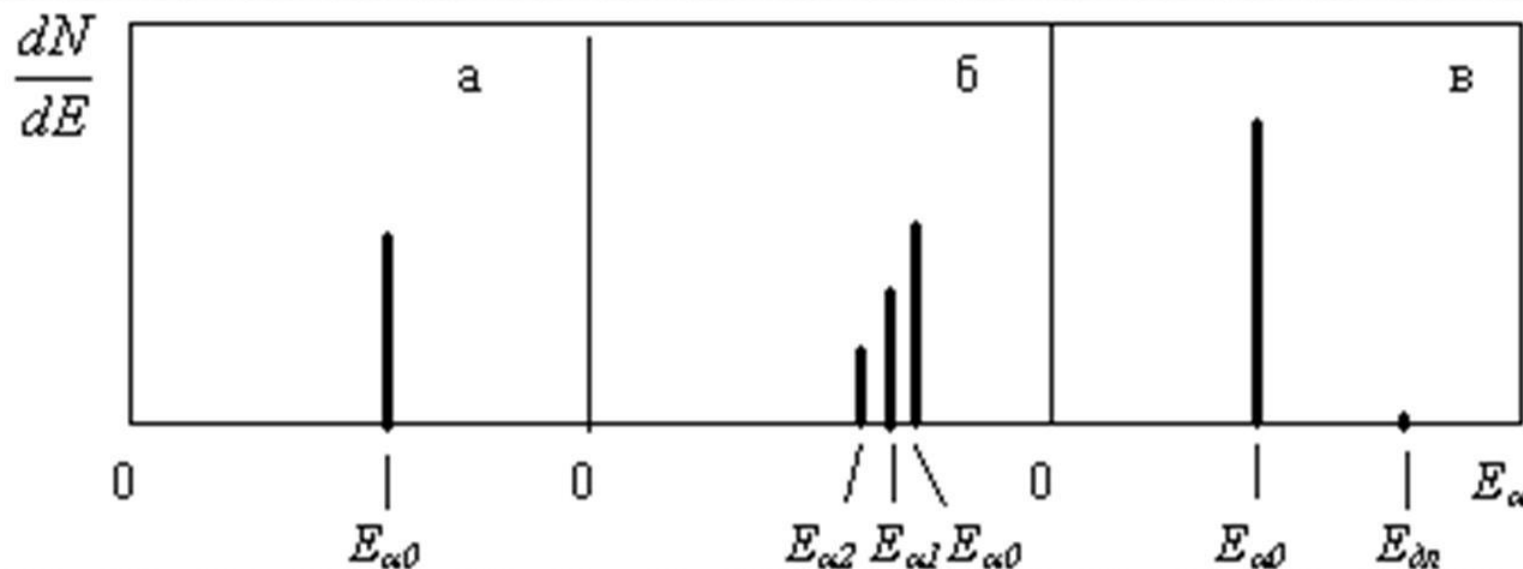


- Спектры с тонкой структурой возникают, когда дочернее ядро может образовываться как в основном, так и в возбужденных состояниях.

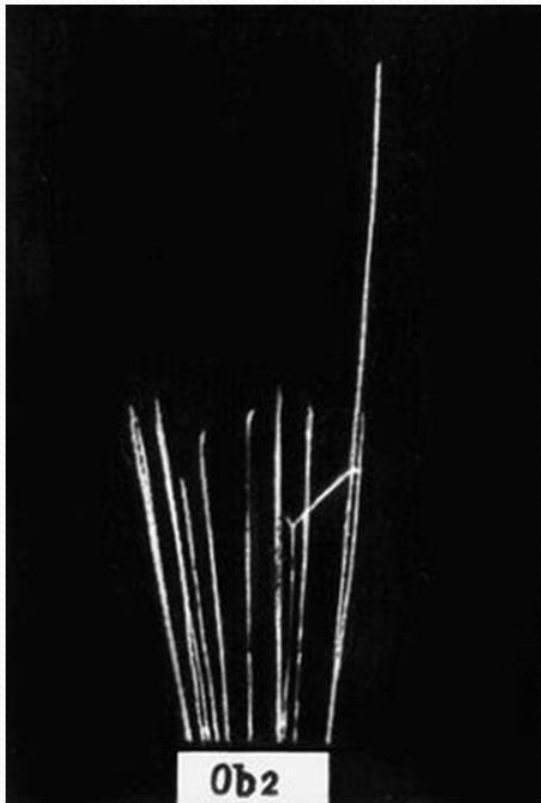


# Энергетические спектры альфа-частиц

3. Спектры с длиннопробежными частицами (в)



- Спектры с длиннопробежными частицами возникают при испускании  $\alpha$ -частиц с возбужденного состояния материнского ядра.



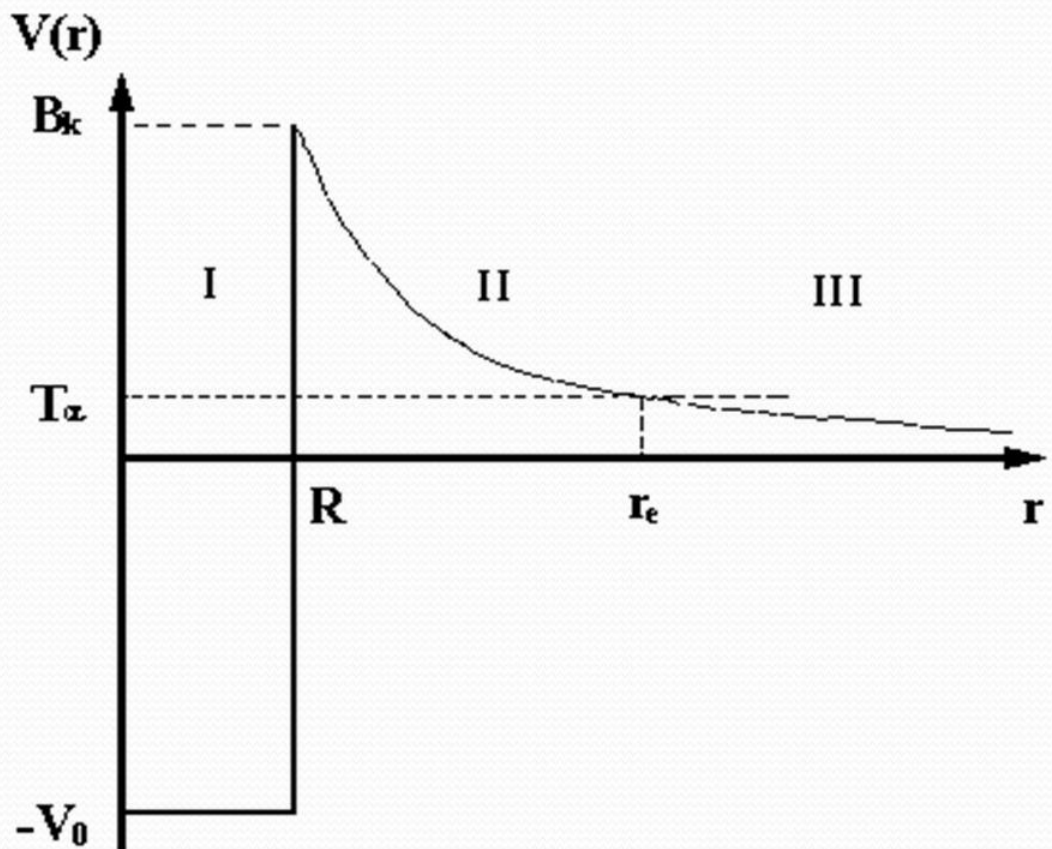
Фотография следа  
длиннопробежной а-частицы  
(справа) от распада  $^{212}Po$

# Основы теории $\alpha$ -распада



Георгий Гамов 1928 г.

Вылет  $\alpha$ -частицы из ядра происходит в результате квантово-механического туннельного эффекта.



Зависимость  
потенциальной  
энергии  
взаимодействия  $\alpha$ -  
частицы с ядром от  
расстояния между их  
центрами.



$$V(r) = \frac{q_\alpha q_\text{я}}{r} = \frac{2Ze^2}{r}$$

Высота кулоновского барьера – максимальное значение потенциальной энергии электростатического взаимодействия частицы с ядром.

$$B_k = \frac{q_\alpha q_\text{я}}{R} \approx \frac{2Z}{A^{1/3}}$$

$r = R$ , при соприкосновении частицы с ядром

Вероятность прохождения частицы через потенциальный барьер (проницаемость барьера)

$$D = \exp \left[ -\frac{2}{\hbar} \int_R^{r_e} \sqrt{2m(V(r) - T_\alpha)} dr \right]$$